ГЕОФИЗИКА

УДК 551.465.15

О ВОЗМОЖНОМ ВЛИЯНИИ ПЛАВУЧЕСТИ НА СПЕКТР ТУРБУЛЕНТНЫХ ПУЛЬСАЦИЙ

Е. В. Павлова

(кафедра физики атмосферы и математической геофизики)

Обсуждаются результаты экспериментов по измерению спектров турбулентности. Наблюдаются некоторые расхождения с законом (-5/3)». Предложена гипотеза о влиянии конвективных движений на структуру спектра турбулентных пульсаций. По-казано, что наличие дополнительного источника энергий, обусловленного конвективными процессами, приводит к трансформированию закона (-5/3)» в закон (-2)».

В работах [1, 2], выполненных Грантом и др. в сильном приливном течении, были найдены одномерные спектры турбулентности $\phi(k)$, определяемые соотношением

$$\langle u_1^2 \rangle = \int_0^\infty dk \, \varphi'(k) \,. \tag{1}$$

Здесь u_1 — продольная компонента турбулент-

ных флуктуаций скорости.

Следует прежде всего напомнить, что функция $\varphi(k)$ связана с E(k) — спектральной плотностью энергии турбулентных пульсаций—некоторым соотношением. Если $E(k) \sim k^{-s}$ (в инерционном интервале), то $\varphi(k) = [2/s(s+2)]E(k)$. Скорость диссипации энергии ε_0 при этом определяется выражением

$$\varepsilon_0 = 15v \int_0^\infty dk \, k^2 \varphi(k) \,. \tag{2}$$

Здесь v — коэффициент кинематической вязкости.

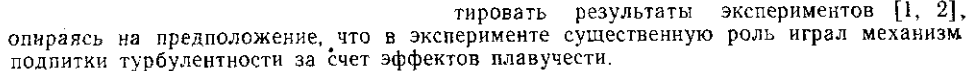
Как известно [3, 4], характерные масштабы длины и скорости можно составить извеличин v и ε_0 : $L_0 = (v^3/\varepsilon_0)^{1/4}$, $v = (v\varepsilon_0)^{1/4}$.

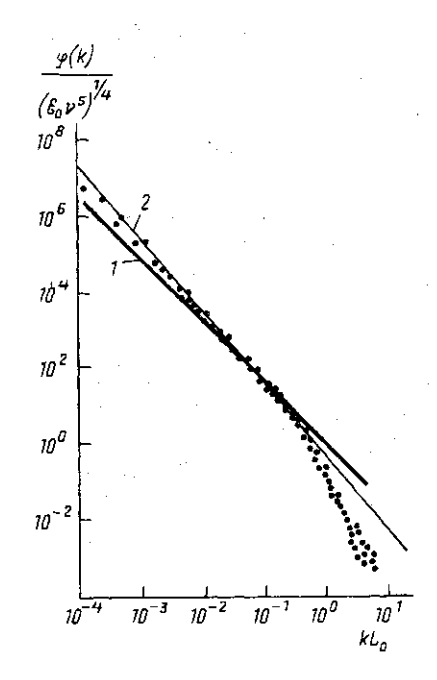
Нормированная на эти величины функция $\phi(k)$, полученная в результате экспериментов [1, 2], представлена на рисунке (см.

гакже [3]).

Прямая линия 1 на рисунке соответствует закону «—5/3». Казалось бы, колмогоровское распределение (v=—5/3) и эксперимент хорошо согласуются. Однако, принимая во внимание то, что данные эксперимента представлены в логарифмическом масштабе, раставленые следует признать существенным. Нетрудно убедиться, что прямая 2, которая соответствует закону $\phi(k) \sim k^{-2}$, лучше согласуется с результатами измерений.

Цель настоящего сообщения — интерпретировать результаты экспериментов [1, 2],





Спектры турбулентных пульсаций, измеренные в работах [1, 2]. Прямая I соответствует закону « $k^{-5/3}$ », прямая 2 — закону « k^{-2} »

Действительно, во время приливного течения в экспериментах [1, 2] верхние слои жидкости в проливе имели пониженную температуру по сравнению со слоями, находившимися в глубине. При выполнении условия

$$\widetilde{g} = -g - \frac{c_p}{\beta} \frac{1}{T_0} \frac{\partial T_0}{\partial z} > 0$$
(3)

в среде появляются беспорядочные конвективные движения. Здесь β — коэффициент теплового расширения среды, c_p — ее удельная теплоемкость, g — ускорение силы тяжести, ось z направлена вверх.

Условие (3) по существу представляет собой критерий Ричардсона [4]: при не-

устойчивой стратификации (конвективные условия)

$$Ri = \frac{g}{T_0} \frac{\partial T_0/\partial z + g\beta T_0/c_p}{[\partial u/\partial z]^2} < 0.$$
 (4)

Здесь и — скорость потока.

Будем предполагать, что конвективные движения могут питать турбулентность. Можно показать, что эволюция спектральной плотности энергии описывается уравнением [3, с. 252]

$$\frac{\partial E(k)}{\partial t} = -\frac{\partial S(k)}{\partial k} + J(k) - 2\nu k^2 E(k) + Q(k). \tag{5}$$

Здесь S(k) — поток по спектру, J(k) — спектральная плотность энергии источника, питающего турбулентность за счет конвекции. Последние два слагаемых в инерционном интервале $L^{-1} \ll k \ll L_0^{-1}$ несущественны. Q(k) описывает накачку, локализованную при масштабах, не превосходящих L^{-1} , $2vk^2E(k)$ описывает диссипативный механизм, обеспечивающий отток энергии турбулентных пульсаций в тепло.

В стационарном режиме $\partial E(k)/\partial t = 0$. Если J(k) = 0 (Ri>0), то в инерционном интервале $\partial S(k)/\partial k = 0$, т. е. $S(k) = \text{const} = \varepsilon_0 - \text{поток}$ энергии по спектру постоянен. Тогда из соображений размерности (поскольку E(k) определяется лишь S(k) и k) получаем

$$E(k) = AS(k)^{2/3}k^{-5/3}, \quad S(k) = \varepsilon_0.$$
 (6)

Пусть теперь $J(k) \neq 0$ (Ri<0). Тогда в интересующем нас инерционном интервале справедливо уравнение

$$-\frac{\partial S(k)}{\partial k} + J(k) = 0, \quad J(k) = J(k, Ri). \tag{7}$$

Если рассматривать случай не слишком больших значений $Ri \leq 0$, т. е. вблизи порога процесса развития конвективной неустойчивости, то естественно предположить, что точка Ri = 0 не является особой и разложение J(k, Ri) в ряд Тейлора начинается с члена первой степени, т. е. $J(k, Ri) \sim (Ri) \sim g$. Также ясно, что источник J(k) должен зависеть от того, насколько развито турбулентное движение в рассматриваемой системе, которое характеризуется потоком энергии по спектру. Привлекая соображения размерности, получаем, что

$$J(k, Ri) = -Bg[S(k)]^{\alpha} k^{\beta}, B > 0,$$
 (8)

тде $\alpha = 1/3$, $\beta = -4/3$.

$$S(k) = \varepsilon_0 \left[1 + (kL_1)^{-1/3} \right]^{3/2}, \tag{9}$$

где $L_1=\epsilon_0^2/(2B\widetilde{g})^3\gg L_0$. Решение (9), очевидно, справедливо, если $L_1\ll L$, где L — внешний пространственный масштаб.

Соотношение (9) позволяет записать для спектральной плотности энергии $E\left(k\right)$ выражение

$$E(k) = A\varepsilon_0^{2/3}k^{-5/3}[1 + (kL_1)^{-1/3}]. \tag{10}$$

жоторое при $kL_1 \ll 1$ трансформируется в следующее:

$$E(k) = 2AB\widetilde{g}k^{-2}. (11)$$

Выражение (11) — конечный результат проведенного рассмотрения. Оно показывает, что при определенных условиях (по-видимому, реализованных в экспериментах

[1, 2]) функция $\phi(k) \sim k^{-2}$, и это объясняется существенным вкладом конвективных процессов в распределение энергии турбулентных пульсаций по спектру.

Разумеется, можно утверждать, что зависимость (11) фактически мало отличается от закона «--5/3». Однако это не уменьшает теоретического интереса отмеченного отличия.

ЛИТЕРАТУРА

[1] Grant H. L., Steward R. W., Moilliett A.//J. Fluid Mech. 1962. 12. P. 241. [2] Grant H. L., Moilliett A.//J. Fluid Mech. 1962. 13. P. 237. [3] Филлипс О. М. Динамика верхнего слоя океана. Л., 1980. С. 263. [4] Татарский В. И. Распространение волн в турбулентной атмосфере. М., 1967. С. 112.

Поступила в редакцию 06.12.90

ВЕСТН, МОСК, УН-ТА. СЕР, 3, ФИЗИКА. АСТРОНОМИЯ. 1991. Т. 32, № 4

УДК 519.21

НЕЛИНЕЙНАЯ РЕДУКЦИЯ ИЗМЕРЕНИЙ В ЗАДАЧАХ ДИСТАНЦИОННОГО ЗОНДИРОВАНИЯ АТМОСФЕРЫ

Т. В. Матвеева, Ю. П. Пытьев

(кафедра физики атмосферы и математической геофизики)

На примере характерных задач дистанционного зондирования атмосферы показано, что большинство задач интерпретации измерений сводится к проблеме вычисления значений функции по неточно заданному аргументу. Результаты вычислительного эксперимента позволяют сделать вывод о целесообразности применения методов нелинейной редукции для решения прикладных задач.

Схема измерений большинства физических экспериментов по дистанционному зондированию атмосферы может быть представлена в виде

$$\xi = a(f) + v, \quad f \in \mathcal{F},$$
 (1)

где ξ — результат измерения, $a(\cdot)$ — известная функция, f — вектор параметров объекта, \mathcal{F} — множество, априори содержащее вектор f, v — случайный вектор (шум), моделирующий ошибки измерения. Исследователя, как правило, интересует значение f или, в более общем случае, U(f) — параметров исследуемого объекта.

Рассмотрим простейшие эксперименты в атмосферной оптике. Пусть наземный: приемник ориентирован в направлении падения прямого солнечного излучения и регистрирует интенсивность радиации в узком спектральном диапазоне в окрестности длины волны λ:

 $\xi = J(\lambda) + v$ (2)

где $I(\lambda)$ — интенсивность прямого солнечного излучения, ослабленного на пути от верхней границы атмосферы до точки наблюдения. Согласно закону Бугера, $J(\lambda)$ == $=S_{\lambda}\exp\left\{-T(0,\,\vartheta_{s}(0))\right\}$. Величина S_{λ} определяется спектром интенсивности внеатмосферной солнечной радиации, $T(z, \vartheta_s(z))$ — оптическая толща вдоль пути от верхней границы атмосферы до точки z, $\vartheta_s(z)$ — видимый угол Солнца. В задаче определения оптической толщи, согласно схеме (1), $f = T(0, \vartheta_s(0))$, $a(f) = S_{\lambda} \exp\{-f\}$.

Оптическая толща может быть представлена в виде $T = T_m(\vartheta_s) + T_a(\vartheta_s) + T_{O_s}(\vartheta_s)$, где $T_m(\vartheta_s)$ определяется полным рэлеевским (молекулярным) рассеянием, $T_{\bf c}(\vartheta_s)$ — аэрозольная оптическая толща, $T_{O_{\bf c}}(\vartheta_s)$ — толща, определяемая поглощением озона, $T_{O_{\lambda}}(\vartheta_s) = \alpha_{\lambda} x m (\vartheta_s)$, где α_{λ} — сечение поглощения озона, x — общее содержание озона, $m(\vartheta_s)$ — оптическая масса атмосферы. Если исследователя интересует общее содержание озона, то в соответствии со схемой (1) f=x, $a(f)=S_{\lambda}\exp\left\{-T_{a}(\vartheta_{s})-\right\}$ $-T_m(\vartheta_s)-\alpha_{\lambda}m(\vartheta_s)f$.

В качестве еще одного характерного примера задач дистанционного зондирования атмосферы рассмотрим задачу трассового лидарного зондирования. В экспери-